

Eksamen 6.6.92 i IKKE-LINEÆR DYNAMIKK  
 løsningskisse

Oppgave 1

$$a) \frac{\partial}{\partial t} \int_{-\infty}^{+\infty} u(x,t) dx = \int_{-\infty}^{+\infty} [-uu_x - u_{xxx} + 12\delta u^2 u_x] dx =$$

$$= \int_{-\infty}^{+\infty} [-\frac{1}{2} u^2 - u_{xx} + 4\delta u^3] dx = \underline{\underline{0}}$$

$$\therefore \int_{-\infty}^{+\infty} u(x,t) dx = \text{konstant}$$

b) Permanente bølger  $u = u(x-ct)$  tilfredsstiller

$$-cu' + uu' + u''' = 12\delta u^2 u'$$

som integreres til

$$-cu + \frac{1}{2}u^2 + u'' = 4\delta u^3 + A$$

Multiplikasjon med  $u'$  og ny integrasjon gir

$$-\frac{c}{2}u^2 + \frac{1}{6}u^3 + \frac{1}{2}u'^2 = \delta u^4 + Au + E, \text{ eller}$$

$$\underline{\underline{\frac{1}{2}u'^2 + V(u) = E}}, \text{ med } \underline{\underline{V(u) = \frac{1}{6}u^3 - \frac{c}{2}u^2 - \delta u^4 - Au}}$$

Dette er et klassisk mekanisk problem i én dimensjon: En partikkel med masse 1 beveger seg i potensialet  $V(u)$ .  $\xi = x-ct$  spiller rollen som den tidsvariable i det mekaniske problem.

c)  $\delta=0$   $u, u', u''$  for  $x \rightarrow \infty$  krever  $A=E=0$ ,

$$\text{dvs } V(u) = \frac{1}{6}u^3 - \frac{1}{2}cu^2$$

Med null energi "ruller"

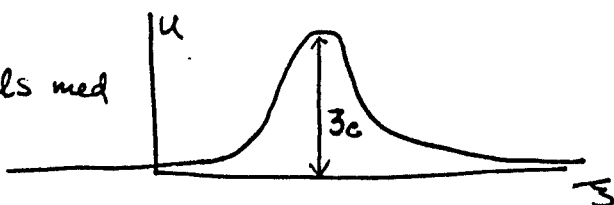
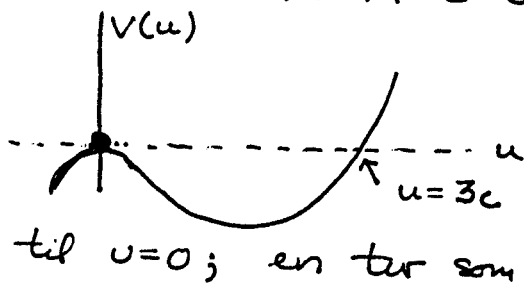
massepunktet fra  $u=0$

til  $u=3c$  og tilbake til  $u=0$ ; en tur som

tar  $\infty$  lang tid.

Det svarer til en puls med

pulshøyde  $\underline{\underline{u_{\max} = 3c}}$ .



②

Vi har her forutsett  $c > 0$ . For  $c \leq 0$  kan ikke  $V(u)$  ha maksimum i origo (da  $V''(0) = -c$ ), og da eksisterer ikke puls med  $u(\pm\infty) = 0$ .

Den eksplisitte form følger av den mekaniske bevegelseslikning. Vi har

$$u' = \pm \sqrt{-2V(u)} = \pm \sqrt{cu^2 - \frac{1}{3}u^3}$$

Med

$$u = \frac{3c}{y^2} \quad ; \quad du = -\frac{6c}{y^3} dy \quad \text{fås}$$

$$-\frac{6c}{y^3} \frac{dy}{d\xi} = \pm \frac{3c^{3/2}}{y^3} \sqrt{y^2 - 1}$$

$$\frac{dy}{\sqrt{y^2 - 1}} = \mp \frac{\sqrt{c}}{2} d\xi \quad . \quad \text{Integrasjon gir}$$

$$\cosh^{-1} y = \mp \frac{\sqrt{c}}{2} (\xi - x_0),$$

der  $x_0$  er en integrasjonskonstant. Dvs

$$y = \cosh \frac{\sqrt{c}}{2} (\xi - x_0) = \cosh \left[ \frac{\sqrt{c}}{2} (x - x_0 - ct) \right]$$

og

$$u = \frac{3c}{y^2} = \frac{3c}{\cosh^2 \left[ \frac{\sqrt{c}}{2} (x - x_0 - ct) \right]}$$

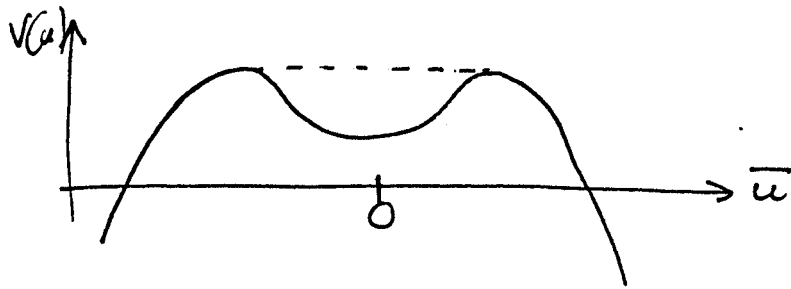
d)  $\delta > 0$  Vi har

$$V(u) = -\delta \left(u - \frac{1}{24\delta}\right)^4 + \left(\frac{1}{96\delta} - \frac{c}{2}\right) \left(u - \frac{1}{24\delta}\right)^2 + \left[\frac{1}{1152\delta^2} - A\right] \left(u - \frac{1}{24\delta}\right) + \text{konstant}$$

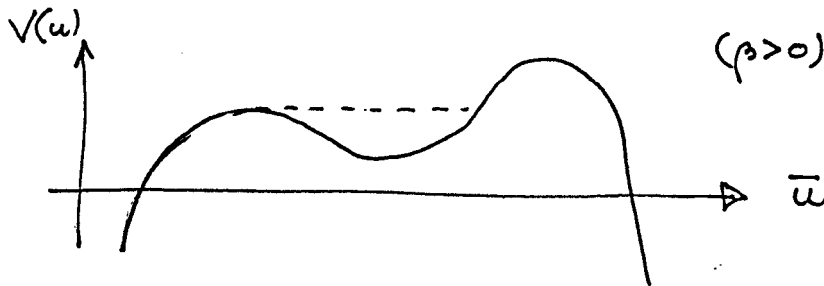
$$\equiv -\delta \bar{u}^4 + \alpha \bar{u}^2 + \beta \bar{u} + \text{konstant} \quad (\bar{u} = u - \frac{1}{24\delta})$$

Både puls- og forskyvningsform krever et lokalt maksimum i potensialet. Da  $V''(u) = -12\delta \bar{u}^2 + 2\alpha$  ser vi at det aldri er tilfelle for  $\alpha < 0$ , dvs  $c > 1/48\delta$ . For  $\alpha > 0$  og  $\beta = 0$  har potensialet

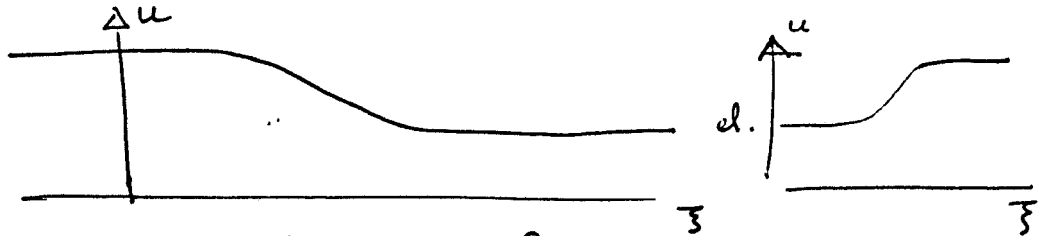
to like høye maksima:



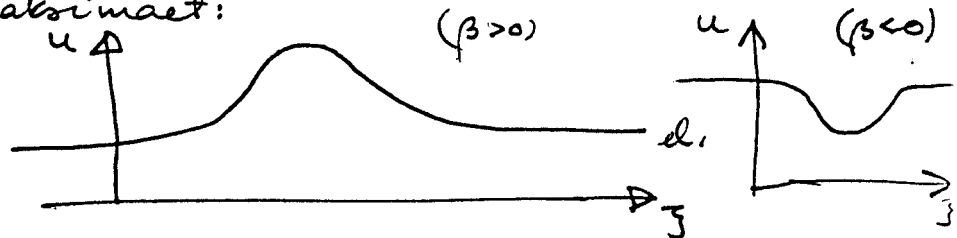
Ved å la  $\beta \neq 0$  brytes symmetrien og ett maksimum blir det absolutte maksimum, det andre et lokalt maksimum:



For det øverste tilfellet vil vi få en forskyvning når massepunktet ruller fra det ene til det andre maksimaet:

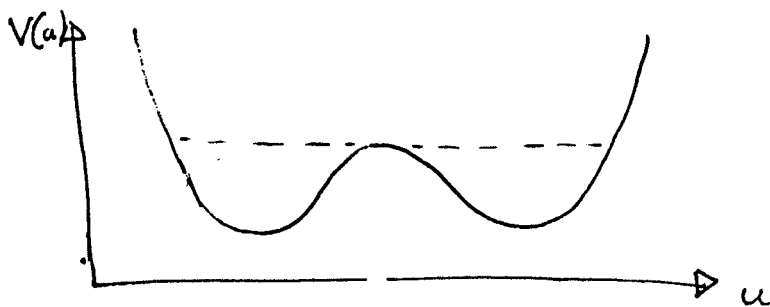


For det nederste potensialet får vi derimot en puls når massepunktet starter og ender på det lokale maksimaet:

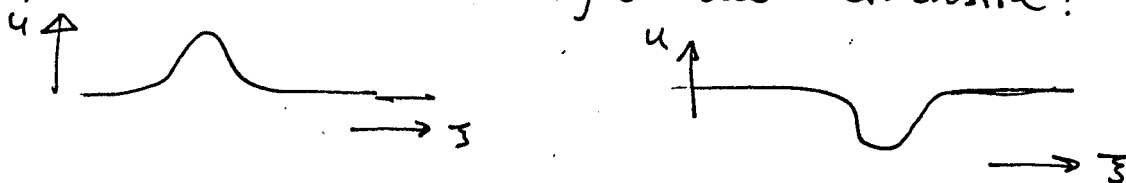


Da kravet  $\alpha > 0$  svarer til  $c < \frac{1}{485}$ , ser vi at både positive og negative  $c$  er mulige, både for forskyvning- og pulsformene.

e)  $\delta < 0$  I dette tilfellet vil  $V \rightarrow +\infty$  for store  $|u|$ , og vi kan bare få høyst ett maksimum:



Vi kan ikke få forskyvning, men pulsform med positiv eller negativ puls ettersom partikkelen ruller tilbake eller tilvenstre:



Kravet til lokalt maksimum er at  $\alpha < 0$  (ellers blir aldri  $V'' = 0$  noe sted), dvs  $c > 1/48\delta$ .

Pulsen må bevege seg mot venstre.

## Oppgave 2

a) Med de gitte betingelser blir funksjonen B i Gel'fand-Levitan-Marchenko-likningen:

$$B(z) = a^2 e^{-\alpha z},$$

og integral likningen blir

$$K(x,y) + a^2 e^{-\alpha(x+y)} + a^2 \int_x^\infty K(x,z) e^{-\alpha(z+y)} dz = 0$$

Multiplikasjon med  $e^{\alpha y}$  gir

$$e^{\alpha y} K(x,y) + a^2 e^{-\alpha x} + a^2 \int_x^\infty K(x,z) e^{-\alpha z} dz = 0.$$

De to siste ledd er uavhengige av  $y$ , da er også første ledd det

$$e^{\alpha y} K(x,y) \equiv F(x).$$

Innsatt for  $K$ :

⑤

$$0 = F(x) + a^2 e^{-\alpha x} + a^2 \int_{x_0}^{\infty} F(x) e^{-2\alpha z} dz = F(x) + a^2 e^{-\alpha x} + a^2 F(x) \frac{1}{2\alpha} e^{-2\alpha x}$$

Løst mhp F:

$$F(x) = - \frac{a^2 e^{-\alpha x}}{1 + \frac{a^2}{2\alpha} e^{-2\alpha x}}$$

$$K(x, x) = e^{-\alpha x} F(x) = - \frac{a^2}{e^{2\alpha x} + a^2/2\alpha}$$

Tilslutt potentialet

$$u(x) = -2 K_x(x, x) = - \frac{4a^2 \alpha e^{2\alpha x}}{(e^{2\alpha x} + a^2/2\alpha)^2}$$

Alternativ form ved å sette  $a^2/2\alpha \equiv e^{2\alpha x^*}$

$$\begin{aligned} u(x) &= - \frac{8\alpha a^2 e^{2\alpha x + 2\alpha x^*}}{(e^{2\alpha x} + e^{2\alpha x^*})^2} = - \frac{8\alpha a^2}{[e^{\alpha(x-x^*)} + e^{-\alpha(x-x^*)}]^2} \\ &= - \frac{2\alpha^2}{\cosh^2[\alpha(x-x^*)]} \end{aligned}$$

Ved å skrive ut t-avhengigheten eksplisitt vha

$$a(t) = a(0) e^{4\alpha^2 t}$$

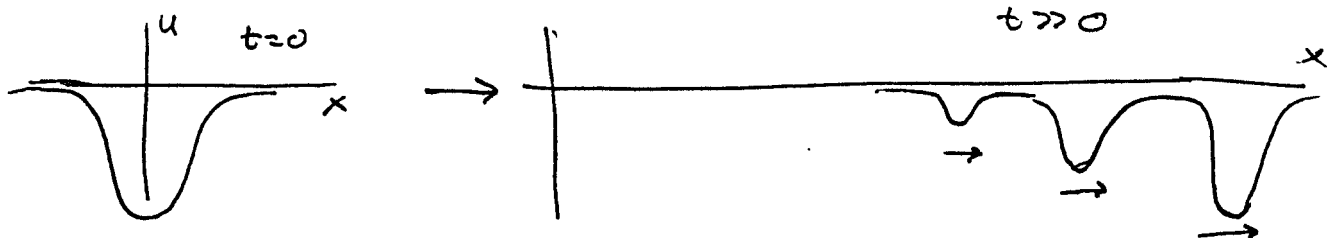
$$\text{dvs } e^{2\alpha x^*} = \frac{a^2}{2\alpha} = \frac{a(0)^2}{2\alpha} e^{8\alpha^2 t} \equiv e^{2\alpha x_0} e^{8\alpha^2 t}$$

fås

$$u(x, t) = - \frac{2\alpha^2}{\cosh^2[\alpha(x-x_0-4\alpha^2 t)]}$$

Hastigheten er  $c = 4\alpha^2 = 4|\lambda|$ .

b) Tre bundne tilstander gir 3 solitoner med hastigheter  $36\alpha^2$ ,  $16\alpha^2$  og  $4\alpha^2$  iflg a). Så vi ventet at den "negative toppen" separeres i 3 soliton "topper":



- c) KdV-likningen er en god beskrivelse for overflatebølger som er svakt ikke-lineære og svakt dispersive, som vil si
- amplitude  $\ll$  vanndybde  $\ll$  karakteristisk bølgelengde.

(J tillegg må (i) bølgelengdene ikke være så små at overflatespenninga spiller noen rolle, i praksis  $> ca 5$  cm; (ii) viskositeten være liten, godt oppfylt for vann, og (iii) bevegelsen være i en retning)

### Oppgave 3

$$\begin{aligned}\dot{x} &= p \\ \dot{p} &= -x - (x^2 + p^2 - 1)p\end{aligned}$$

- a) Likevektpunkter er der høyre-sidene er null, som her er bare i origo,  $x=0, p=0$ .

Den lineariserte iterasjon er

$$\begin{aligned}\dot{x} &= p \\ \dot{p} &= -x + p\end{aligned} \quad \text{eller} \quad \frac{d}{dt} \begin{pmatrix} x \\ p \end{pmatrix} = \begin{pmatrix} 0 & 1 \\ -1 & 1 \end{pmatrix} \begin{pmatrix} x \\ p \end{pmatrix}$$

$$\begin{pmatrix} x \\ p \end{pmatrix} \propto e^{\lambda t} \Rightarrow \begin{vmatrix} -\lambda & 1 \\ -1 & 1-\lambda \end{vmatrix} = 0 \Rightarrow \lambda^2 - \lambda + 1 = 0$$

$$\lambda_{\pm} = \frac{1}{2} \pm i \frac{\sqrt{3}}{2}$$

Da  $\text{Re} \lambda_{\pm} > 0$  er fikspunktet i origo frastøtende.

(At  $\text{Im} \lambda_{\pm} \neq 0$  dessuten viser spiralisering er mindre viktig. For  $p > 0$  er  $\dot{x} > 0$  så det spiraliseres ut i negativ omloppsretning)

b)  $\dot{x} = p \Rightarrow x \dot{x} = xp$

$$\dot{p} = -x - (x^2 + p^2 - 1)p \Rightarrow \underline{p \dot{p} = -xp - (x^2 + p^2 - 1)p^2}$$

Addisjon gir  $x \dot{x} + p \dot{p} = -(x^2 + p^2 - 1)p^2$

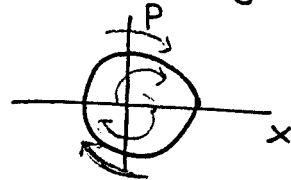
eller  $\frac{d}{dt}(x^2 + p^2) = -2(x^2 + p^2 - 1)p^2$

Vi ser at  $x^2 + p^2 = 1$  gir  $\frac{d}{dt}(x^2 + p^2) = 0$ , så punkter på sirkelen  $x^2 + p^2 = 1$  forblir på sirkelen. Punkter utenfor,  $x^2 + p^2 > 1$ ,

7

trekkes innover,  $\frac{d}{dt}(x^2+p^2) \leq 0$ , og omvendt, så  $x^2+p^2=1$  er en tiltrekkende grensesyklus.

Det globale bildet med frastøtende fikspunkt i origo og en attraktiv grensesyklus rundt origo er konsistent.



### Oppgave 4

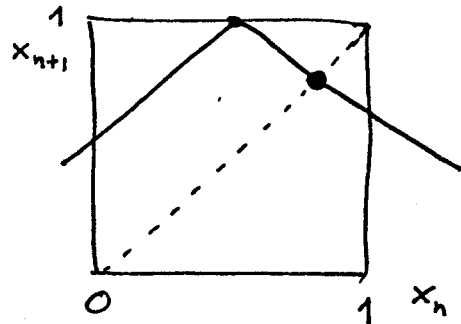
a) Da  $\left| \frac{dx_{n+1}}{dx_n} \right| = a$  så venter vi periodiske bane for  $a < 1$  og kaotisk bane for  $a > 1$ . Figuren viser tydeligvis et fikspunkt for  $a \in (0, 1)$ .

Fikspunktlikningen er

$$x^* = 1 - a(x^* - \frac{1}{2})$$

$$x(a) = \frac{1 + \frac{a}{2}}{1 + a}$$

Dette er kurve A, som går fra  $x^*(0) = 1$  til  $x^*(1) = \frac{3}{4}$ .



b) For  $a > 1$  fås kaotisk bane. Med

$$F(x) = 1 - a|x - \frac{1}{2}|$$

ser vi at etter én iterasjon holder banen seg over  $F(1) = 1 - \frac{a}{2}$ , slik at  $0 \leq x < F(1)$  kan ikke tilhøre attraktoren. Kurve B er grenselinjen

$$B: x = \overline{F(1)} = \underline{1 - \frac{a}{2}}$$

en rett linje fra  $a=1, x=\frac{1}{2}$  til  $a=2, x=0$ .

c) Med  $a = \sqrt{2}$  og  $x_0 = 1$  blir  $x_1 = F(1) = 1 - \frac{\sqrt{2}}{2}$ ,  $x_2 = F^2(1) = \frac{\sqrt{2}}{2}$  og  $x_3 = F^3(1) = \frac{\sqrt{2}}{2}$ . Da  $x = \frac{\sqrt{2}}{2}$  er et fikspunkt blir alle  $x_{n>3} = \frac{\sqrt{2}}{2}$  også.

d) Vi fant altså i c) at maksimalverdien 1 ble, for  $a = \sqrt{2}$  avbildet inn i det 1 ustabile fikspunktet

$$F^2(1) = F^3(1) = \frac{\sqrt{2}}{2} \quad (a = \sqrt{2}).$$

La oss nå senke verdien av  $a$  litt under  $\sqrt{2}$ .

Da vil maksimalverdien eller to iterasjoner avbildes litt over det ustabile fikspunktet, og eller tre iterasjoner litt under (se figur). Det er intuitivt klart, og kan også ses av uttrykkene

$$F^2(1) = 1 - \frac{a(a-1)}{2}$$

$$x^*(a) = \frac{1+a/2}{1+a}$$

$$F^3(1) = 1 - \frac{a}{2}(1-a+a^2).$$

Påstanden er at  $F^3(1) < x < F^2(1)$  ikke kan tilhøre attraktoren. Det er så fordi ingen  $x$  avbildes inn i dette intervallet etter to iterasjoner, og punkter innen intervallet (fikspunkt unntatt) arbeider seg ut da  $|F'| > 1$ .

$$x_c = F^2(1) = \underline{\underline{-\frac{1}{2}a^2 + \frac{1}{2}a + 1}}$$

$$x_D = F^3(1) = \underline{\underline{\frac{1}{2}a^3 - \frac{1}{2}a^2 - \frac{1}{2}a + 1}}$$

Vi ser at  $\left\{ \begin{array}{l} x_c(1) = 1 ; x_c(\sqrt{2}) = \frac{\sqrt{2}}{2} \\ x_D(1) = \frac{1}{2} ; x_D(\sqrt{2}) = \frac{\sqrt{2}}{2} \end{array} \right\}$  som ventet.

e) Periodiske baner har  $\lambda < 0$ , kaotiske har  $\lambda > 0$ , så  $\lambda$  ventes å skifte tegn ved  $a = 1$ .

Da  $|F'| = a$  konstant er

$$\lambda(a) = \lim_{n \rightarrow \infty} \frac{1}{n} \sum_{i=0}^{n-1} \ln |F'(x_i)| = \underline{\underline{\ln a}}$$

Denne funksjonen er, som ventet, positiv for  $a > 1$ , negativ for  $a < 1$ .

